

İZMİT KÖRFEZİ AKINTI MODELLEMESİ

Zeynep ÇEHRELİ

Osman S. BÖREKÇİ

Boğaziçi Üniversitesi İnşaat Mühendisliği Bölümü, 80815 Bebek, İstanbul

ÖZET

Izmit Körfezi'nin rüzgar tarafından sürülen akıntılarının modellenmesi için derinlik üzerinde ortalanmış iki boyutlu bir sonlu hacimler modeli geliştirilmiştir. Öncelikle modelin çeşitli sınır geometrilerine ve rüzgar durumlarına tepkisi denenmiş ve doğrulanmıştır. Elde edilen ortalama akıntı hızları, rüzgar tarafından sürülen yüzey akıntı hızlarıyla karşılaştırarak doğrulanmıştır. Modelin Izmit Körfezi için kalibrasyonu, Dengili (1999) tarafından bildirilen ve Nisan 1999'da Izmit Körfezi'nde yapılmış akıntı ölçümleri kullanılarak gerçekleştirilmiştir. Modelin uygulanmasında 1929-1990 yılları arasında yapılmış rüzgar ölçümleri kullanılmıştır.

1. GİRİŞ

Hızlı, plansız endüstrileşme ve nüfus artışı sonucunda ülkemizin su kaynakları ve karasuları kirlenme tehdidiyle karşı karşıyadır. Ülkemizi çevreleyen denizlerin büyük okyanuslarla su değişimi ancak Cebelitaşık Boğazı kanalıyla olmaktadır. Bu su değişimi, Karadenizle başlayan iç deniz ve boğazlar sistemi için yeterli değildir. Bu çalışmaya konu olan Izmit Körfezi'nin kıyıları da hem nüfus hem de endüstrileşme bakımından ülkemizin en yoğun bölgelerinden biridir. Izmit Körfezi'nin yapısı bakımından yarı kapalı bir sistem olması ve akıntılarının nispeten zayıf olması, körfezin daha da kirlenmesi halinde oldukça ciddi çevresel sorunlar doğuracaktır. Problemin olası boyutları Izmit Körfezi için bir iyileştirme sürecinin başlatılmasına neden olmuştur. Yerel ve uluslararası fonlarla desteklenen ve TÜBİTAK Marmara Araştırma Merkezi (MAM) tarafından yürütülen "İzmit Körfezi'nin İyileştirilmesi" projesi bu sürecin bir parçasını oluşturmaktadır. Bu proje kapsamında başlatılan ölçüm ve modelleme çalışmalarına katkıda bulunmak amacıyla Boğaziçi Üniversitesi İnşaat Mühendisliği Bölümü'nde modelleme çalışmaları başlatılmıştır. Bu çalışmaların üç aşamada gerçekleştirilmesi düşünülmektedir. Tamamlanan birinci aşamada, kullanılması düşünülen modelleme tekniği ve çeşitli model parametreleri denenmiş, rüzgar tarafından sürülen tek katmanlı bir akıntı modeli elde edilmiştir. İkinci aşamada, Izmit Körfezi su katmanlarını daha gerçekçi olarak temsil edecek üç katmanlı bir akıntı ve kirlilik taşınım modeli geliştirilecektir. Üçüncü aşamada ise paralel bilgisayar sistemleri için üç boyutlu bir akıntı ve kirlilik taşınım modeli planlanmıştır. Yapılan ön görüşmelerde, ikinci aşama ve sonrasında MAM'ın ve ABD'den West Virginia

Üniversitesi' nin de modelleme çalışmalarına katılmaları ve projenin desteklenmesi için ulusal ve uluslararası fonlara başvurulması planlanmıştır.

Birinci aşamada Sonlu Hacim Metodu (SHM) kullanılarak kararlı akım için tek katmanlı, iki boyutlu (derinlik üzerinde ortalanmış) bir akıntı modeli geliştirilmiştir. Model değişik sınır şartları, batimetriterler, rüzgar dağılımları, taban sürtünmeleri ve difüzyon katsayıları kullanılarak denemiş ve akıntıların beklenen yönlerde ve büyüklüklerde oldukları gözlemlenmiştir. Modelin İzmit Körfezi için kalibrasyonu, Dengili (1999) tarafından bildirilen ve Nisan 1999'da İzmit Körfezi'nde yapılmış akıntı ölçümleri kullanılarak gerçekleştirilmiştir. Modelin uygulanmasında Göztepe Meteoroloji İstasyonu'ndan sağlanan 1929-1990 yılları arasında yapılmış rüzgar ölçümleri kullanılmıştır.

2. HİDRODİNAMİK DENKLEMLER

Modele esas olan hidrodinamik denklemler yatay düzlemdede iki momentum denklemi ile süreklilik denkleminden oluşmaktadır. Sonlu Hacimler Metodu'nun dayandığı korunum ilkeleri göz önüne alınarak bu denklemler

$$\frac{\partial}{\partial x}(\rho uu) + \frac{\partial}{\partial y}(\rho uv) = -\gamma \frac{\partial \eta}{\partial x} + \rho fv + \frac{1}{h+\eta}(\tau_x^s - \tau_x^b) + \rho N_h \nabla^2 u \quad (1)$$

$$\frac{\partial}{\partial x}(\rho uv) + \frac{\partial}{\partial y}(\rho vv) = -\gamma \frac{\partial \eta}{\partial y} - \rho fu + \frac{1}{h+\eta}(\tau_y^s - \tau_y^b) + \rho N_h \nabla^2 v \quad (2)$$

$$\frac{\partial}{\partial x}[u(h+\eta)] + \frac{\partial}{\partial y}[v(h+\eta)] = 0 \quad (3)$$

olarak yazılabilir. Bu denklemlerde, u ile v , sırasıyla, x ve y yönlerindeki ortalanmış akıntı hızlarını, η su yüzeyinin durgun su yüzeyine göre yüksekliğini, h derinliği, ρ ve γ , sırasıyla, suyun yoğunluğunu ve özgül ağırlığını, N_h ise yatay düzlemdeki kinematik eddi vizkozitesini göstermektedir. Rüzgardan suya momentum transferi bu iki akışkanın ara yüzeyinde oluşan kayma gerilmeleri ile olmaktadır. τ_x^s ve τ_y^s , yüzeydeki kayma gerilmelerinin x ve y yönlerindeki bileşenlerini göstermektedir. Hareket halinde bulunan bir su kütlesi, Coriolis kuvveti tarafından kuzey yarı kürede hareket yönünün sağına doğru çekilir. Dünyanın kendi ekseni etrafında dönüşünün etkisini yansitan bu kuvvetin x ve y yönlerindeki bileşenleri, momentum denklemlerinde $-\rho fv$ ve ρfu olarak görülmektedir. Burada, dünyanın kendi ekseni etrafındaki açısal dönme hızı Ω ile su kütlesinin bulunduğu enlem ϕ 'ye bağlı olarak Coriolis parametresi $f=2\Omega \sin \phi$ ifadesinden bulunanabilir. Su kütlesinin hareketine deniz tabanın direnci ise su-taban ara yüzeyinde oluşan kayma gerilmeleri ile ifade edilebilir. Bu gerilmelerin x ve y yönlerindeki bileşenleri, momentum denklemlerinde τ_x^b ve τ_y^b olarak görülmektedir.

Model denklemlerinde geçen kayma gerilmesi terimleri için akışkan hızının karesine bağlı ifadeler seçilmiştir. Yüzeydeki kayma gerilmeleri için

$$\tau_x^s = C_{10} \rho_a W_x \sqrt{W_x^2 + W_y^2} \quad \tau_y^s = C_{10} \rho_a W_y \sqrt{W_x^2 + W_y^2} \quad (4)$$

ifadelri kullanılmıştır. Burada, W_x ve W_y rüzgar hızının bileşenleri, ρ_a havanın yoğunluğu, C_{10} ise yüzeyden 10 m yükseklikte ölçülen rüzgar hızı temel alınarak elde edilmiş bir sürtünme katsayısıdır. Kaynaklarda C_{10} için verilen çeşitli sabitlere veya rüzgar hızına bağlı çeşitli ifadelere rastlamak mümkündür. Örnek olarak, C_{10} için Palmen ve Laurila (1938) 0.0024, Hela (1948) 0.0019, Neumann (1948) 0.9, Ekman (1952) 2.6 ve Pond (1971) 1.5 önermektedir. Rüzgar hızına bağlı ifadelere de Heaps (1965)

$$C_{10} = \begin{cases} 0.000565 & W < 5 \text{ m/s} \\ (-0.12 + 0.137 W) * 10^{-3} & 5 < W < 19.22 \text{ m/s} \\ 0.002513 & W > 19.22 \text{ m/s} \end{cases} \quad (5)$$

ve Garrat(1977)

$$C_{10} = (0.75 + 0.067 W) \times 10^{-3} \quad (6)$$

örnek olarak gösterilebilir. Körfez tabanındaki kayma gerilmeleri de

$$\tau_x^b = r \rho u \sqrt{u^2 + v^2} \quad \tau_y^b = r \rho v \sqrt{u^2 + v^2} \quad (7)$$

veya

$$\tau_x^b = \frac{\rho g}{C^2} u \sqrt{u^2 + v^2} \quad \tau_y^b = \frac{\rho g}{C^2} v \sqrt{u^2 + v^2} \quad (8)$$

şeklinde ifade etmek mümkündür. Bu ifadelerde, r tabanın pürüzlülüğüne ve taban sınır tabakası özelliklerine bağlı bir sürtünme katsayısını, C Chezy katsayısını, g ise yer çekimi ivmesini göstermektedir. Komar (1976) r katsayısının 0.002-0.004 aralığında alınmasını önermektedir. Chezy katsayısi için taban özelliklerine bağlı bir sabit seçilebileceği gibi Gerritsen ve Biljsma'nın (1988) önerdiği gibi derinliğe bağlı

$$C = \begin{cases} 65 & h < 40 \text{ m} \\ h + 25 & 40 \text{ m} < h < 65 \text{ m} \\ 90 & h > 65 \text{ m} \end{cases} \quad (9)$$

ifadesi de kullanılabilir.

Momentum denklemlerinde, (1) ve (2), geçen yatay düzlemdeki kinematik eddi vizkozitesi N_h 'nin değeri hakkında literatürde bir fikir birliği mevcut değildir (Pedlosky, 1979). Ancak yapılan çalışmalarдан bu parametrenin rüzgar hızı W 'nın artışı ile arttığı görülmektedir. Bu konuda 1966 yılına kadar yapılan çalışmaların bir kısmı Neumann ve Pierson'da (1966) özetlenmiştir. Örnek olarak, burada Schmidt'e (1917) göre $N_h 10^{-4} \text{ m}^2/\text{s}$ ($W=1 \text{ m/s}$ için) ile

$0.172 \text{ m}^2/\text{s}$ ($W=20 \text{ m/s}$ için) arasında değerler alırken Neumann'a (1952) göre $N_h = 0.0058 \text{ m}^2/\text{s}$ ($W=4 \text{ m/s}$ için) ile $0.252 \text{ m}^2/\text{s}$ ($W=18 \text{ m/s}$ için) arasında değişmektedir. Pedlosky (1979) N_h 'nin değeri hakkında bir belirsizlik olduğunu ve literatürde $10 \text{ m}^2/\text{s}$ ile $10^4 \text{ m}^2/\text{s}$ arasında değerlere rastlandığını söylemektedir.

Burada sunulan modelde N_h 'nin değerini herhangi bir çalışmadan almak yerine hesaplanmış veya ölçülmüş bir yüzey akıntısına göre belirlemek yoluna gidilmiştir. Rüzgar tarafından sağlanan momentumun düşeyde taşınımının derinlik ne olursa olsun tabana kadar devam ederek aradaki bütün su kolonunu harekete geçirmesi beklenemez. Ekman'a (1905) göre W hızında esen bir rüzgar, yüzeyden

$$D_f = \pi \sqrt{\frac{N_v}{\Omega \sin \varphi}} \quad (10)$$

derinliğine kadar etkili olacak ve yüzeyde

$$V_o = \frac{\pi \tau^s}{\sqrt{2 D_f \rho \Omega \sin \varphi}} \quad (11)$$

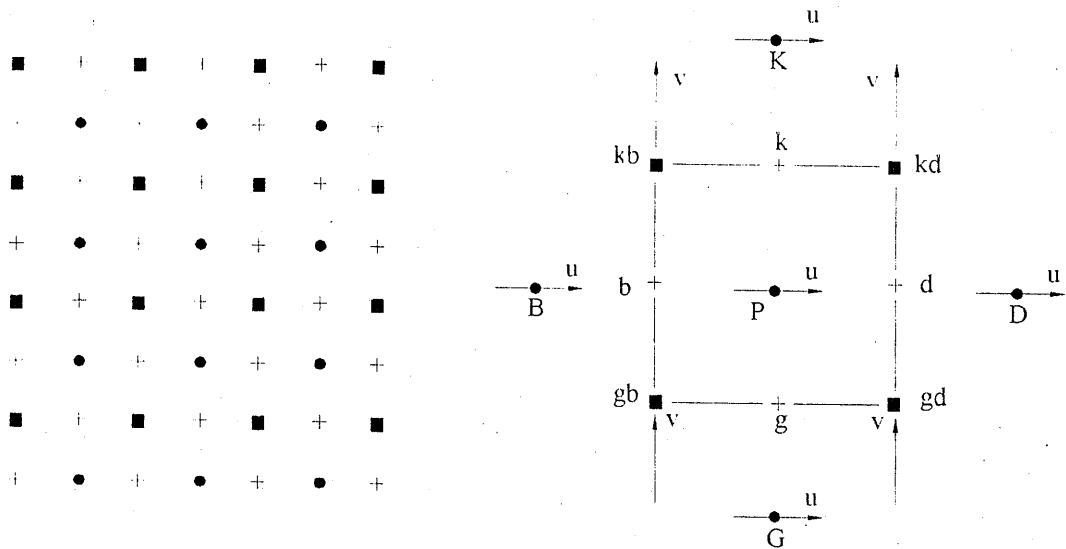
büyüklüğünde bir akıntıyı sürecektir. Burada N_v , düşey düzlemdeki kinematik eddi vizkozitesini göstermektedir. Yapılan ölçümler, ortalama $N_v = 0.01 \text{ m}^2/\text{s}$ için, Ekman'ın denklemelerinin genelde iyi sonuç verdiği göstermektedir (Pierson ve Neumann, 1966). Akıntı ölçümlerinin bulunmadığı durumlarda, N_h (11)'den hesaplanan V_o 'ın model sonuçlarıyla karşılaştırılmasıyla belirlenebilir. Dengili'nin (1999) İzmit Körfezi için verdiği Nisan ayında yapılmış akıntı ölçümleri ve Göztepe Meteoroloji İstasyonu'ndan temin edilen Nisan ayı ortalama rüzgar verileri kullanılarak yapılan hesaplama sonucunda model batimetrisinin 50 m ile sınırlanabileceği ve $N_h = 110 \text{ m}^2/\text{s}$ kullanılabileceği görülmüştür.

4. SONLU HACİM FORMULASYONU

Momentum ve süreklilik denklemelerinin sonlu hacim formulasyonu, bu denklemelerin boyutları $\delta x \times \delta y \times \delta z$ olan bir kontrol hacmi (CV) üzerinde integralinin alınması esasına dayanmaktadır. Buradaki iki boyutlu problem için δz boyutunu birim uzunlukta alarak ve kare şeklinde kontrol hacimleri için x -yönündeki momentum denkleminin integrali

$$\begin{aligned} \int_{CV} \left[\frac{\partial}{\partial x} (\rho u u) + \frac{\partial}{\partial y} (\rho u v) \right] dV &= \int_{CV} \left[-\gamma \frac{\partial \eta}{\partial x} + \rho f v + \frac{1}{h + \eta} (\tau_x^s - \tau_x^b) + \rho N_h \nabla^2 u \right] dV \\ \int \rho u u dy + \int \rho u v dx &= - \int \gamma \eta dx dy + \int \rho f v dx dy + \frac{1}{h + \eta} \int (\tau_x^s - \tau_x^b) dx dy + \int \rho N_h \frac{\partial u}{\partial x} dy \\ &\quad + \int \rho N_h \frac{\partial u}{\partial y} dx \end{aligned} \quad (12)$$

olarak yazılabilir. Bu integralin alınabilmesi için modelde Şekil 1'de gösterilen kaydırılmış ağ ve u -kontrol hacmi kullanılmıştır. Şekilde kontrol hacminin merkezi P ile belirtilirken, köşeleri ve



Şekil 1 Kaydırılmış ağ hesaplama noktaları: u (●), v (■), η (+) ve u -kontrol hacmi. Hesaplama noktaları aralığı $l = dx = dy$.

kenar orta noktalarının belirtilmesi için pusula yönlerinden yararlanılmıştır. Denklem (12)'de verilen integralin alınması sonucunda

$$a_p^u u_p = \sum (a^u u)^* - \gamma (\eta_d - \eta_b) l + b^u \quad (13)$$

bulunabilir. Bu denklemdeki a^u katsayıları

$$\begin{aligned} a_d^u &= l \left(\delta + \frac{F_d}{2} \right) & a_b^u &= l \left(\delta - \frac{F_b}{2} \right) & a_k^u &= l \left(\delta + \frac{F_k}{2} \right) & a_g^u &= l \left(\delta - \frac{F_g}{2} \right) \\ a_p^u &= a_d^u + a_b^u + a_k^u + a_g^u \end{aligned} \quad (14)$$

olarak verilebilir. Burada, $\delta = \rho N_h / l$ ve kontrol yüzeylerindeki F momentumu

$$F_d = \rho \frac{u_P + u_D}{2} \quad F_b = \rho \frac{u_P + u_B}{2} \quad F_k = \rho \frac{v_{kd} + v_{kb}}{2} \quad F_g = \rho \frac{v_{gd} + v_{gb}}{2} \quad (15)$$

kullanılmıştır. Denklem (13)'ün sağ tarafındaki ilk terim

$$\sum (a u)^* = a_d^u u_d + a_b^u u_b + a_k^u u_k + a_g^u u_g = a_d^u \frac{u_D + u_P}{2} + a_b^u \frac{u_B + u_P}{2} + a_k^u \frac{u_K + u_P}{2} + a_g^u \frac{u_G + u_P}{2} \quad (16)$$

olarak açılabilir. Aynı denklemin son terimi ise Coriolis kuvveti ve sürtünmelerden gelen terimleri içermektedir. Bu terim de

$$b^u = l^2 \left[\frac{\tau_x^s - \tau_x^b}{h + \eta} + \rho f v \right] \quad (17)$$

olarak ifade edilebilir. \bar{v} , kontrol hacminin köşelerindeki v hızlarının ortalamasını göstermektedir. Bu ortalama, kontrol hacminin sınırlarında akışkan veya duvar bulunması göz önüne alarak değişik ifadelerden hesaplanmıştır. Deniz yüzeyindeki kayma gerilmelerinin hesabında, kontrol hacminin P noktasındaki rüzgar bileşenleri ve denklem (4) kullanılabilir. Tabandaki kayma gerilmesi ise denklem (7)'den yararlanarak elde edilen

$$\tau_x^h = r \rho u_p \sqrt{u_p^2 + \bar{v}^2} \quad (18)$$

ifadesinden hesaplanabilir.

y -momentum denkleminin ve süreklilik denkleminin de yukarıda özetlenen şekilde sonlu hacimler formulasyonu yapılabilir. Burada bu formulasyonun detaylarına yer verilmeyecektir. Gereken detaylar Çehreli'de (2000) verilmiştir. Hidrodinamik denklemlerin sonlu hacim formulasyonları aşağıda özetlenmiştir.

$$\begin{aligned} x\text{-momentum} \quad a_p^u u_p &= \sum (a^u u)^* - \gamma (\eta_d - \eta_b) l + b^u \\ y\text{-momentum} \quad a_p^v v_p &= \sum (a^v v)^* - \gamma (\eta_k - \eta_g) l + b^v \\ \text{süreklik} \quad a_p^\eta \eta_p &= \sum (a^\eta \eta)^* + b^\eta \end{aligned} \quad (19)$$

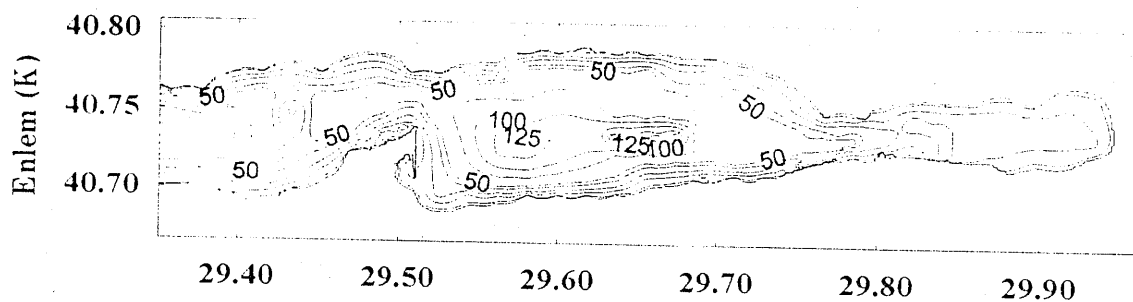
Süreklik denkleminden deniz yüzeyinin konumu elde edildiğinden bu denklem serbest yüzey düzeltme denklemi olarak da yorumlanabilir.

4. SINIR ŞARTLARI VE ÇÖZÜM ALGORİTMASI

Hidrodinamik denklemlerin özelliklerine uygun olarak deniz-kara ara yüzeyinde akışkan hız bileşenleri sıfır olarak alınmıştır. Belirlenmesi nispeten zor olan sınır şartı körfez-deniz ara yüzeyinde olmalıdır. Bu sınır şartı serbest yüzey kotları veya akıntı hızları olabilir. Ancak, genelde ölçümler bulunmadığından uygun bir sınır şartı için yaklaşımalar kullanılmaktadır. Modelde, körfez-deniz ara yüzeyinden akıntıların engellenmeksızın geçebilmeleri esasına uygun olan ve uzun dalga teorisine dayanan (Reid ve Bodine, 1968) aşağıdaki ifade kullanılmıştır.

$$u = \eta \sqrt{\frac{g}{h + \eta}} \quad (20)$$

Bu sınır şartı ve benzerleri Kowalik ve Murty'de (1993) verilmiş ve tartışılmıştır. Uygulamada körfez-deniz ara yüzeyinde η -kontrol hacimleri yerleştirilmiştir. Bu kontrol hacimlerinin batı (İzmit Körfezi için) kenar ortalarında bulunan ve sınır değeri olan u hız bileşenini kontrol hacminin merkezindeki η değerini (bir önceki iterasyondan gelen) kullanarak denklem (20)'den bulmak mümkündür. Dolayısıyla; iteratif çözümün her döngüsünde denklem (19)'da verilen ifadeler sırasıyla çözülürken deniz-kara ara yüzeyindeki sınır şartları değişimeyecek ancak



Şekil 2 İzmit Körfezi batimetrisi. Derinlikler metre olarak verilmiştir.

körfez-deniz ara yüzeyindeki sınır şartı bir önceki döngü sonucunda elde edilen serbest yüzey konumuna göre değişecektir. Kullanılan bu sınır şartının sonucu olarak hesaplama sonunda elde edilen serbest yüzey yükseklikleri göreceli olarak doğru olacaktır.

Denklemlerin çözümü için Versteeg ve Malalasekera'da (1995) verilen SIMPLE, SIMPLER, SIMPLEC ve PISO gibi çözüm algoritmaları vardır. Bunlar içinden modelde güçlü yakınsama özellikleri olan SIMPLEC algoritması seçilmiştir. Algoritmanın yukarıda verilen denklemlere uygulaması Çehreli'de (2000) verilmiştir.

4. MODELİN İZMİT KÖRFEZİNE UYGULANMASI

İzmit Körfezi rüzgar verileri Göztepe Meteoroloji İstasyonundan temin edilmiştir. Veriler, Kocaeli’nde 40°46' K enlemi ve 29°50' D boylamında ölçülmüş, 1929-1990 yıllarını kapsayan, 16 yöndeki ortalama değerlerdir. Model her yönden esen maksimum ve en sık rastlanan (modal) rüzgarlar için çalıştırılmıştır. Modelde kullanılan batimetri verileri ODTÜ’den Doç. Dr. Ahmet Cevdet Yalçın tarafından, Seyir, Hidrografî ve Oşinografi Dairesi’nin hazırladığı İzmit Körfezi batimetri haritasından sayısallaştırılmıştır. Bu batimetri Şekil 2’de verilmiştir. Ancak, yukarıda izah edilen nedenlerle model tabanı 50 m derinlikle sınırlanmıştır.

Model denklemlerinin geliştirilmesinde kontrol hacminin yüzeylerindeki momentumlar denklem (15)’den de görülebileceği gibi ortalama değerler olarak alınmıştır. Bu yaklaşımla kararlı bir nümerik algoritma elde edebilmek için hücre Peclet sayısını (Pe) sınırlamak gerekmektedir. Denklem (13)’ün temsil ettiği denklem takımının bilinmeyen u değerleri için kararlı bir nümerik çözümünün olabilmesi için a^u katsayılarının hepsinin işaretlerinin aynı olması gerekmektedir. Bu kriterin denklem (14)’te verilen katsayılarla uygulanması ile

$$-2 < Pe = \frac{\rho u}{\rho N_h} < 2 \quad (21)$$

kriteri bulunabilir. Dengili’nin (1999) verdiği Nisan ayı akıntı ölçümlerinden akıntı hızlarının 10^{-2} m/s büyüklüğünde olduğu görülmektedir. Bu büyüklükteki hızlar ve modelde kullanılan $l = 800$ m, $N_h = 110$ m²/s yukarıdaki kritere uygundur. Nisan ayı rüzgar verileri maksimum rüzgarın aynı zamanda modal rüzgar olduğunu ve DGD yönünden 4.1 m/s süratinde estığını göstermektedir. Tablo 1’de verilen model sonuçları ve ölçümlerin karşılaştırması model sonuçlarının doğru yönde ve mertebede olduğunu göstermektedir. Ancak bunun sadece üç

Tablo 1 Nisan ayı için hesaplanan akıntıların ölçümle (Dengili ,1999) karşılaştırması..

No.	Boylam (derece D)	Enlem (derece K)	Hesaplanan Akıntı		Ölçülen Akıntı	
			u (m/s)	v (m/s)	u (m/s)	v (m/s)
1	29.4035	40.8098	-0.0899	- 0..00059	- 0.1100	0.0000
2	29.8140	40.7944	-0.0653	0.14200	- 0.0200	0.1400
3	29.6555	40.8164	-0.0831	- 0.00134	- 0.1500	0.0000

noktada yapılan bir karşılaştırma olduğu unutulmamalıdır. Nisan ayı için elde edilen akıntılar Şekil 2'de gösterilmiştir. Ayrıca, Şekil 3'te de Mayıs ayında modal rüzgarın sürdüğü akıntılar verilmiştir. Diğer aylar için hesaplanan akıntılar ve göreceli serbest yüzey konumları Çehreli' de (2000) verilmiştir.

6. SONUÇ

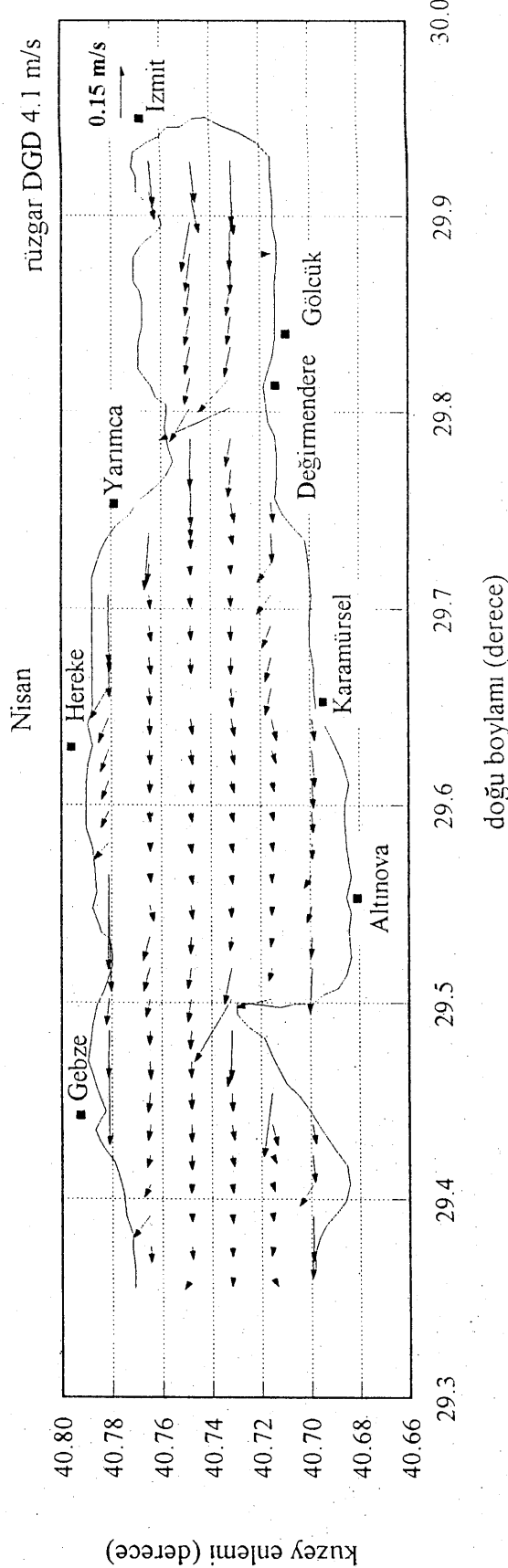
İzmit Körfezi'nin incelenmesi için başlatılan modelleme çalışmalarının ilk etabını teşkil eden bu çalışmada rüzgar tarafından sürülen akıntıların hesaplanabilmesi için derinlik üzerinde ortalanmış iki boyutlu bir sonlu hacimler modeli geliştirilmiştir. Modelin eldeki kısıtlı ölçümle kalibrasyonu yapılarak İzmit Körfezine uygulanmıştır. Bu haliyle modelin sadece yüzey akıntıları için beklenen yön ve büyülükte sonuçlar verdiği söylenebilir. Daha gerçekçi sonuçlar için en azından, körfez sularının yapısına uygun olan üç katmanlı bir modele ihtiyaç vardır.

Şekil 2 ve 3'te verilen akıntı hızlarından bazılarının çevrelerindekiilerden çok daha büyük olduğu görülmektedir. Ölçümler bulunmadığı için bunlardan hangilerinin var olduğunu bilinmemektedir. Ancak, nümerik modellerde kısa mesafeler üzerinde ani derinlik farklarının olduğu noktalarda veya akımın büyük miktarda yön değiştirmeye zorlandığı yerlerde bu gibi sonuçlara rastlamak mümkündür. Modelde kullanılan $800\text{ m} \times 800\text{ m}$ boyutlarındaki kaydırılmış hesaplama ağı hızların hesaplandığı noktaların arasını 1600 m yapmaktadır. Dolayısıyla, akıntıların gösterildiği şekillerde bu buyuttan küçük çevrintilere rastlanmamıştır.

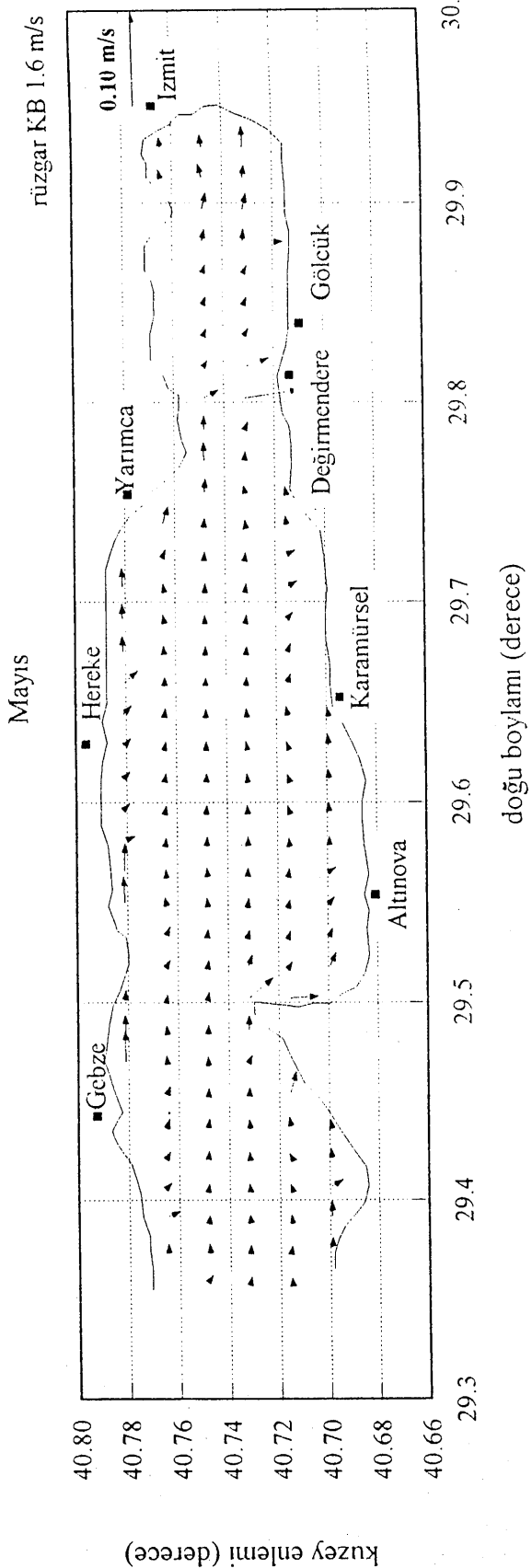
Modelin geliştirilmesinde kullanılan SIMPLEC algoritmasının güçlü yakınsama özellikleri bakımından projenin gelecekteki çalışmalarında da kullanılmasına karar verilmiştir. Burada yapılan uygulamalarda yakınsama kriteri olarak hesaplanan hızların ve serbest yüzey yüksekliğinin en fazla 0.001 değişimleri esas alınmış ve en fazla 50 iterasyonda yakınsama sağlanmıştır. Uygulamada momentum denklemlerinin sırasıyla ve birbirlerinin sonuçları kullanılmaksızın çözülmeleri ilerde yazılması düşünülen üç boyutlu paralel algoritmalar için önem taşımaktadır. Paralel algoritmalarla her bir momentum denkleminin çözümünü farklı bir işlemciye atayarak çözüm süresini düşürmek mümkün olacaktır.

TEŞEKKÜR

Yazarlar bu çalışmada kullanılan İzmit Körfezi batimetrisini sağlayan ve değerli görüşlerini esirgemeyen Doç. Dr. Ahmet Cevdet Yalçiner'e teşekkürlerini sunarlar.



Sekil 2. Nisan ayında maksimum (aynı zamanda en sık rastlanan) rüzgar tarafından sürülen İzmit Körfezi akıntıları.



Şekil 3. Mayıs ayında en sık rastlanan rüzgar tarafından sürülen İzmit Körfezi akıntıları.

KAYNAKLAR

- ÇEHRELİ, Z.N., (2000), A Depth Averaged Hydrodynamic Model for İzmit Bay, *Yüksek Lisans Tezi*, Boğaziçi Üniversitesi Fen Bilimleri Enstitüsü.
- DENGİLİ, K., (1999), Water Quality Assesment of İzmit Bay by Two Dimensional Modeling, *Yüksek Lisans Tezi*, Boğaziçi Üniversitesi Fen Bilimleri Enstitüsü.
- EKMAN, V.W., (1905), On the Influence of Earth's Rotation on Ocean Currents, *Astronomy and Physics*, c.2, no.11,s.1-53.
- GARRAT, J.R., (1977), Review of Drag Coefficients Over Oceans and Continents, *Monthly Weather Review*, c.7, no.105, s.915-929.
- GERRITSEN, H., BILJSMA, A.C., (1988), Modeling of Tidal and Win-Driven Flow,: The Dutch Continental Shelf Model, *Computer Modeling in Ocean Engineering*, Schrefler ve Zienkiewicz (ed.), no.398, s.331-338.
- HELA, I., (1948), On the Stress of the Wind on the Water Surface, *Geophysica*, no.3, Geophys. Soc. Finland.
- KOMAR, P.D., (1976), Boundary Layer Flow under Steady Unidirectional Currents, *Marine Sediment Transport*, Wiley, s.91-106.
- KOWALIK, Z., MURTY, T.S., (1993), *Numerical Modeling of Ocean Dynamics*, World Scientific.
- NUEMANN, G., (1952), On the Complex Nature of Ocean Waves and the Growth of the Sea Under the Action of Wind, *Gravity Waves*, NBS Circular 521.
- NEUMANN, G., PIERSON, W.J., (1969), *Principles of Physical Oceanography*, Prentice-Hall.
- PALMEN, E., LAURILA, E., (1938) Über die Einwirkung eines Sturmes auf den hydrographischen Zustand im nördlichen Ostseegebiet, *Soc. Sci. Fenn. Comm. Phys.-Math.*, c.10, no. 1.
- PEDLOSKY, J., (1979), *Geophysical Fluid Dynamics*, Springer Verlag.
- REID, R.O., BODINE, R.O., (1968), Numerical Model for Storm Surges in Galveston Bay, *J. Waterway and Harbor Div.*, no.94(WW1), s.33-57.
- SCHMIDT, W., (1917), Wirkungen der ungeordneten Bewegungen in Wasser der Meere und Seen, *Ann. d. Hyd. U. Marit. Meteorology*, c.45, s.367-382,431-445.
- VERSTEEG, H.K., MALALASEKERA, M., (1995), *An Introduction to Computational Fluid Dynamics : The Finite Volume Method*, Longman.

ABSTRACT

A wind driven, depth averaged two-dimensional circulation model was developed using the finite volume method. The model was tested for different boundary geometries and wind patterns. The resulting currents were compared to those obtained from wind drift current computations and found to be in accordance with expectations. The model was calibrated using the İzmit Bay current measurements reported by Dengili (1999) for the month of April. Wind data comprising the years 1929-1999 was used to run the model.

